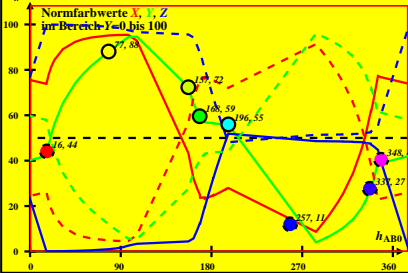


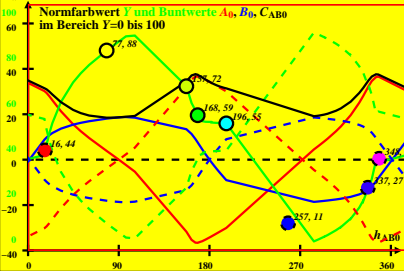
CIE-P35-Daten von -Ostwald-Farben von maximalem Buntwert C_{AB}
 $Y_w=100, Y_m=520_770, B_m=380_520$ und 1-Minus-Daten (- -)



DG300-1 A_1

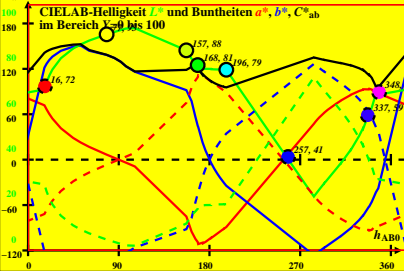
DG301-7R

CIE-P35-Daten von -Ostwald-Farben von maximalem Buntwert C_{AB}
 $Y_w=100, Y_m=520_770, B_m=380_520$ und 1-Minus-Daten (- -)

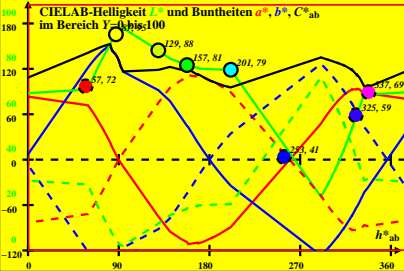


DG300-2A_1

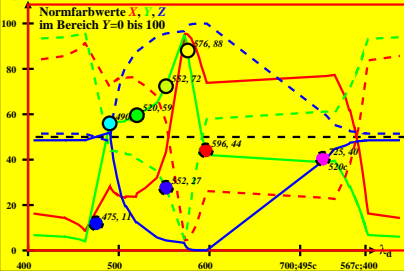
CIE-P35-Daten von -Ostwald-Farben von maximalem Buntwert C_{AB}
 $Y_w=100$, $Y_m=520_770$, $B_m=380_520$ und 1-Minus-Daten (- -)



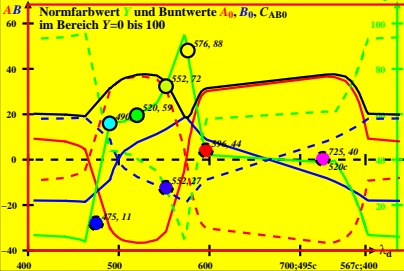
CIE-P35-Daten von -Ostwald-Farben von maximalem Buntwert C_{AB}
 $Y_w=100$, $Y_m=520_770$, $B_m=380_520$ und 1-Minus-Daten (- -)



CIE-P35-Daten von -Ostwald-Farben von maximalem Buntwert C_{AB}
 $Y_w=100, Y_m=520_770, B_m=380_520$ und 1-Minus-Daten (- -)

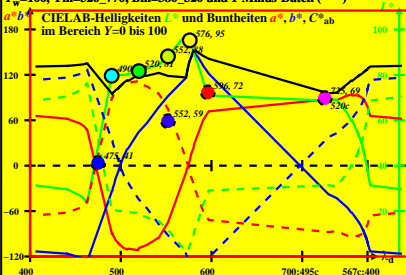


CIE-P35-Daten von -Ostwald-Farben von maximalem Buntwert C_{AB}
 $Y_w=100$, $Y_m=520_770$, $B_m=380_520$ und 1-Minus-Daten (- -)



CIE-P35-Daten von -Ostwald-Farben von maximalem Buntwert C_{AB}
 $Y_w=100$, $Y_m=520_770$, $B_m=380_520$ und 1-Minus-Daten (- -)

a^*b^* CIELAB-Helligkeiten L^* und Buntheiten a^* , b^* , C^*_{ab}
 im Bereich $Y=0$ bis 100



CIE-P35-Daten von -Ostwald-Farben von maximalem Buntwert C_{AB}
 $Y_w=100$, $Y_m=520_770$, $B_m=380_520$ und 1-Minus-Daten (- -)

